

# 加拿大产东北红豆杉化学成分的研究

李力更<sup>1</sup>, 张丽<sup>1</sup>, 赵永明<sup>2</sup>, 詹文红<sup>1</sup>, 霍长虹<sup>1</sup>, 史清文<sup>1\*</sup>

(1) 河北医科大学药学院 天然药物化学教研室, 河北 石家庄 050017;

(2) 河北北方学院医学院 药学系, 河北 张家口 075000)

**摘要:** 目的 研究生长在加拿大的东北红豆杉 *Taxus cuspidata* 的化学成分。方法 采用硅胶柱色谱、制备薄层色谱和 HPLC 制备色谱法分离、纯化化学成分, 用一维和二维核磁共振技术鉴定化合物结构。**结果** 从生长在加拿大的东北红豆杉的针叶中分离得到了 10 个紫杉烷二萜类化合物, 分别鉴定为 2A, 9A-二乙酰氧基-25A-桂皮酰氧基-21O-羟基-2紫杉烷-24(20), 112-二烯-213-酮(102-去乙酰基紫杉宁, N)、2A, 10B-二乙酰氧基-25A-桂皮酰氧基-29A-羟基-2紫杉烷-24(20), 12-二烯-213-酮(92-去乙酰基紫杉宁, O)、2A, 9A, 10B-三乙酰氧基-25A-桂皮酰氧基-213A-羟基-2紫杉烷-24(20), 112-二烯-13-二氢紫杉宁, 132-去乙酰基紫杉宁 E, 紫杉佐匹定, Ø)、2A, 9A, 10B-三乙酰氧基-25A-桂皮酰氧基-213A-羟基-213, 162-环氧-2紫杉烷-24(20), 112-二烯(taxezopidine J, Ø)、2A, 7B, 9A, 10B, 13-五乙酰氧基-25A-桂皮酰氧基-211A-羟基-2紫杉烷-24(20), 12-二烯(紫杉平, taxuspine D, Ø)、2A, 7A, 9A, 10B-四乙酰氧基-25A-桂皮酰氧基-211B-羟基-212, 162-环氧-2紫杉烷-24(20)-2-烯-213-酮(紫杉吉酚, taxagifine, Ø)、2A, 7B, 9A, 10B, 192-五乙酰氧基-25A, 11A-二羟基-212, 162-环氧-2紫杉烷-24(20)-2-烯-213-酮(192-去苯甲酰基-212-乙酰基紫杉宁 M, X)、2A, 5B, 13A-三乙酰氧基-21B, 7B, 9A, 10B-四羟基-24, 202-环氧-2紫杉烷-2112-烯(7B, 9A, 10B-三去乙酰基-21B-羟基-2巴卡亭 N, 南方红豆杉醇, taxumairol C, Ø)、4A, 10B, 13A-三乙酰氧基-22A-苯甲酰氧基-21B, 7B, 9A-三羟基-25, 202-环氧-2紫杉烷-212-烯(92-二氢-213-乙酰基-2巴卡亭 Ø, Ü)、4A, 13A-二乙酰氧基-22A-苯甲酰氧基-27B, 9A, 10B, 13-四羟基-25, 202-环氧-211(15y 1)重排紫杉烷-2112-烯(7, 9, 10-三去乙酰基-重排巴卡亭 Ø, Ü)。**结论** 化合物 Ø, Ü 为首次从东北红豆杉中分离得到。化合物 Ø 为首次从东北红豆杉针叶中分离得到。

**关键词:** 东北红豆杉; 针叶; 紫杉烷类二萜

中图分类号: R284.1

文献标识码: A

文章编号: 0253-2267(2009)01-0001-20

## Chemical constituents of *Taxus cuspidata* from Canada

LI Lìgēng<sup>1</sup>, ZHANG Manlì<sup>1</sup>, ZHAO Yongmíng<sup>2</sup>, ZHAN Wenbōng<sup>1</sup>,  
HUO Changzhong<sup>1</sup>, SHI Qingwen<sup>1</sup>

(1) Department of Medicinal Natural Product Chemistry, Hebei Medical University, Shijiazhuang 050017, China; (2) Faculty of Pharmaceutical Sciences, Medical College of Hebei North University, Zhangjiakou 075000, China)

**Abstract:** Objective To study the chemical constituents in *Taxus cuspidata* from Canada. Methods Chemical constituents were isolated by column chromatography, preparative TLC, and preparative HPLC. The structures were identified on the basis of 1D2 and 2D NMR spectral analyses. Results Ten taxane diterpenoids were isolated from the needles of *T. cuspidata* grown in Canada. They were identified as: 2A, 9A-diacetoxyl-25A-cinnamoyloxy-210B-hydroxyl-2taxa-24(20), 112-diene-213-one (102-deacetyltaxinine) (N); 2A, 10B-biacetoxyl-25A-cinnamoyloxy-29A-hydroxy-2taxa-24(20), 112-diene-213-one (92-deacetyltaxinine) (Ø); 2A, 9A, 10B-triacetoxyl-25A-cinnamoyloxy-213A-hydroxy-2taxa-24(20), 112-diene (Ø); 2A, 9A, 10B-triacetoxyl-25A-cinnamoyloxy-213A-hydroxy-213, 162-epoxy-2taxa-24(20), 112-diene (taxezopidine J) (Ø); 2A, 7B, 9A, 10B, 132-pentaacetoxyl-25A-cinnamoyloxy-211A-hydroxy-2taxa-24(20), 122-diene (taxuspine D) (Ø); 2A, 7A, 9A, 10B-tetraacetoxyl-25A-cinnamoyloxy-211B-hydroxy-212, 162-epoxy-2taxa-24(20)-ene-213-one (taxagifin) (Ø); 2A, 7B, 9A, 10B, 192-pentaacetoxyl-25A, 11A-dihydroxy-212, 162-epoxy-2taxa-24(20)-ene-213-one (192-debenzoyl-212-acetyl-2taxinine M) (X); 2A, 5B, 13A-triacetoxyl-21B, 7B, 9A, 10B-tetrahydroxy-24, 202-epoxy-2taxa-211(12)-ene (taxumairol C) (Ø); 4A, 10B, 13A-triacetoxyl-22A-benzoyloxy-21B, 7B, 9A-trihydroxy-25, 202-epoxy-2taxa-2112-ene (92-dihydro-213-acetyl-2baccatin Ø) (Ü); 4A, 13A-diacetoxyl-22A-

\* 收稿日期: 2008-04-22

基金项目: 科技部 863 科研基金资助项目(2003AA2Z3527); 河北省自然科学基金资助项目(08B032)和河北省引进留学人员基金课题

作者简介: 李力更(1963), 男, 河北唐山人, 副教授, 南开大学化学系毕业, 长期从事天然药物化学的教学和科研工作。

\* 通讯作者 史清文 Tel: (0311)86265634 E-mail: shiqingwen@hebmu.edu.cn

benzoyloxy<sup>27</sup>B, <sup>9</sup>A, <sup>10</sup>B, <sup>152</sup>tetrahydroxy<sup>25</sup>, <sup>202</sup>epoxy<sup>211</sup>(<sup>15</sup>y<sup>1</sup>)<sup>2</sup>abeo<sup>2</sup>taxa<sup>211</sup>ene(<sup>7</sup>, <sup>9</sup>, <sup>10</sup>tr<sup>2</sup>  
deacetyl<sup>2</sup>abeo<sup>2</sup>baccatin<sup>0</sup>)(<sup>U</sup>)<sup>1</sup> Conclusion Compounds<sup>0</sup> and<sup>U</sup> are obtained from *T1 cuspidata* for  
the first time Compound<sup>0</sup> is obtained from the needles of *T1 cuspidata* for the first time

Key words: *Taxus cuspidata* Siebl et Zucc; needles; taxane diterpenoids

由于紫杉醇对乳腺癌和卵巢癌的神奇疗效、独特的抗癌机制、新颖的结构及有限的资源,引起全世界的研究者对紫杉类化合物产生极大兴趣。人们对来自于红豆杉属植物不同种红豆杉的化学成分进行了大量的研究,以期发现新的紫杉醇的类似物,进一步开发紫杉醇的药源或寻找新结构的抗癌活性物质。尽管已有超过500个紫杉烷类化合物报道<sup>[1]</sup>,但是紫杉醇的生物合成途径目前仍未完全搞清楚,而且不断有新的紫杉烷类化合物被分离得到<sup>[2,3]</sup>。东北红豆杉 *Taxus cuspidata* Siebl et Zucc 属于红豆杉科(Taxaceae)红豆杉属(*Taxus* L.)植物,为常绿乔木或灌木,主要分布在我国长白山系及日本和朝鲜。曾有学者对东北红豆杉的化学成分及其药理作用进行了很多的研究和总结<sup>[4,5]</sup>。笔者对生长在加拿大的东北红豆杉进行了化学成分的研究,从其针叶的甲醇提取物中分离得到了10个紫杉烷二萜类化合物,通过<sup>1</sup>D<sup>2</sup>NMR和<sup>2</sup>D<sup>2</sup>NMR等波谱分析,确定其结构分别为: 2A, 9A<sup>2</sup>乙酰氧基<sup>25</sup>A<sup>2</sup>桂皮酰氧基<sup>210</sup>B<sup>2</sup>羟基<sup>2</sup>紫杉烷<sup>24(20)</sup>, <sup>112</sup>二烯<sup>213</sup>酮(<sup>102</sup>去乙酰基紫杉宁, <sup>N</sup>)、<sup>2</sup>A, <sup>10</sup>B<sup>2</sup>乙酰氧基<sup>25</sup>A<sup>2</sup>桂皮酰氧基<sup>29</sup>A<sup>2</sup>羟基<sup>2</sup>紫杉烷<sup>24(20)</sup>, <sup>112</sup>二烯<sup>213</sup>酮(<sup>92</sup>去乙酰基紫杉宁, <sup>0</sup>)、<sup>2</sup>A, <sup>9</sup>A, <sup>10</sup>B<sup>3</sup>乙酰氧基<sup>25</sup>A<sup>2</sup>桂皮酰氧基<sup>213</sup>A<sup>2</sup>羟基<sup>2</sup>紫杉烷<sup>24(20)</sup>, <sup>112</sup>二烯(<sup>13</sup>二氢紫杉宁, <sup>13</sup>去乙酰基紫杉宁 E, <sup>0</sup>)、<sup>2</sup>A, <sup>9</sup>A, <sup>10</sup>B<sup>3</sup>乙酰氧基<sup>25</sup>A<sup>2</sup>桂皮酰氧基<sup>213</sup>A<sup>2</sup>羟基<sup>213</sup>, <sup>16</sup>环氧<sup>2</sup>紫杉烷<sup>24(20)</sup>, <sup>112</sup>二烯(*taxezopidine J*, <sup>0</sup>)、<sup>2</sup>A, <sup>7</sup>B, <sup>9</sup>A, <sup>10</sup>B, <sup>132</sup>五乙酰氧基<sup>25</sup>A<sup>2</sup>桂皮酰氧基<sup>211</sup>A<sup>2</sup>羟基<sup>2</sup>紫杉烷<sup>24(20)</sup>, <sup>122</sup>二烯(*taxuspine D*, <sup>0</sup>)、<sup>2</sup>A, <sup>7</sup>A, <sup>9</sup>A, <sup>10</sup>B<sup>4</sup>乙酰氧基<sup>25</sup>A<sup>2</sup>桂皮酰氧基<sup>211</sup>B<sup>2</sup>羟基<sup>212</sup>, <sup>16</sup>环氧<sup>2</sup>紫杉烷<sup>24(20)</sup><sup>2</sup>烯<sup>213</sup>酮(*taxagifine*, <sup>0</sup>)、<sup>2</sup>A, <sup>7</sup>B, <sup>9</sup>A, <sup>10</sup>B, <sup>192</sup>五乙酰氧基<sup>25</sup>A, <sup>11</sup>A<sup>2</sup>羟基<sup>212</sup>, <sup>16</sup>环氧<sup>2</sup>紫杉烷<sup>24(20)</sup><sup>2</sup>烯<sup>213</sup>酮(<sup>192</sup>去苯甲酰基<sup>2192</sup>乙酰基紫杉宁 M, <sup>X</sup>)、<sup>2</sup>A, <sup>5</sup>B, <sup>13</sup>A<sup>2</sup>三乙酰氧基<sup>21</sup>B, <sup>7</sup>B, <sup>9</sup>A, <sup>10</sup>B<sup>4</sup>羟基<sup>24</sup>, <sup>202</sup>环氧<sup>2</sup>紫杉烷<sup>2112</sup>烯(<sup>7</sup>B, <sup>9</sup>A, <sup>10</sup>B<sup>3</sup>三去乙酰基<sup>21</sup>B<sup>2</sup>羟基<sup>2</sup>巴卡亭<sup>N</sup>, *taxumairol C*, <sup>0</sup>)、<sup>4</sup>A, <sup>10</sup>B, <sup>13</sup>A<sup>2</sup>三乙酰氧基<sup>22</sup>A<sup>2</sup>苯甲酰氧基<sup>21</sup>B, <sup>7</sup>B, <sup>9</sup>A<sup>2</sup>三羟基<sup>25</sup>, <sup>202</sup>环氧<sup>2</sup>紫杉烷<sup>2112</sup>烯(<sup>92</sup>二氢<sup>2132</sup>乙酰基<sup>2</sup>巴卡亭<sup>0</sup>, <sup>U</sup>)、<sup>4</sup>A, <sup>13</sup>A<sup>2</sup>二乙酰氧基<sup>22</sup>A<sup>2</sup>苯甲酰氧基<sup>27</sup>B, <sup>9</sup>A, <sup>10</sup>B, <sup>152</sup>四羟基<sup>25</sup>, <sup>202</sup>环氧<sup>211</sup>(<sup>15</sup>y<sup>1</sup>)重排紫杉烷<sup>2</sup>

112稀(<sup>7</sup>, <sup>9</sup>, <sup>102</sup>三去乙酰基重排巴卡亭<sup>0</sup>, <sup>U</sup>)。其中化合物<sup>0</sup>、<sup>U</sup>为首次从东北红豆杉中分离得到,化合物<sup>0</sup>为首次从东北红豆杉针叶中分离得到。

## 1 仪器和材料

柱色谱用硅胶为中国青岛海洋化学集团生产,230~400目。其他所用试剂均为分析纯。制备用TLC厚度为<sup>0.1</sup>25或<sup>0.1</sup>5mm厚的Merk公司生产的硅胶F<sub>254</sub>,未活化,展开后首先在紫外灯(254nm)下观察斑点,然后将TLC浸入10%H<sub>2</sub>SO<sub>4</sub>再加热5min后在紫外可见仪下观察斑点。核磁仪为Bruker Avance DRX) 500,室温下测定,溶剂为CDCl<sub>3</sub>。<sup>1</sup>H<sup>2</sup>NMR和<sup>13</sup>C<sup>2</sup>NMR的一维核磁谱(1D)应用Bruker Avance DRX) 500核磁仪在标准条件下分别在500<sup>13</sup>MHz和125<sup>77</sup>MHz下测定。<sup>1</sup>H<sup>2</sup>NMR和<sup>13</sup>C<sup>2</sup>NMR的二维核磁数据即HMQC和HMBC应用标准Bruker脉冲测定程序。

加拿大东北红豆杉的针叶2003年采于加拿大魁北克地区。植物标本保存在加拿大蒙特利尔植物园标本室。

## 2 提取与分离

取干燥的加拿大产东北红豆杉针叶213kg,用甲醇在室温下浸泡提取,减压浓缩提取液,浓缩物用饱和的盐水溶解,加入正己烷萃取以除去油脂类成分,然后再用二氯甲烷萃取,合并二氯甲烷萃取液,用无水硫酸钠干燥,滤过后进行蒸发浓缩得到黑绿色的二氯甲烷萃取浓缩物。取二氯甲烷萃取浓缩物20g反复进行硅胶柱色谱、制备硅胶TLC、制备HPLC等分离、纯化,得到10个化合物(分别标记为<sup>N</sup>~<sup>U</sup>),结构式见图1。

## 3 结构鉴定

化合物<sup>N</sup>:白色粉末。<sup>1</sup>H<sup>2</sup>NMR(CDCl<sub>3</sub>)<sup>D</sup>  $\delta$  7.5~7.138(4H, m, 3c<sup>2</sup>phyl),  $\delta$  6.4(1H, d, J=16Hz, H23c),  $\delta$  6.43(1H, d, J=16Hz, H22c),  $\delta$  7.4(1H, d, J=10Hz, H29),  $\delta$  5.52(1H, dd, J=61.4, 2Hz, H22),  $\delta$  5.33(1H, overlap, H25),  $\delta$  5.31(1H, overlap, s, H22a),  $\delta$  5.01(1H, d, J=10Hz, H210),  $\delta$  4.83(1H, s, H22b),  $\delta$  3.39(1H, d, J=61.4Hz, H23),  $\delta$  2.84(1H, dd, J=20, 7Hz, H214a),  $\delta$  2.41(1H, overlap, d, J=20Hz, H214b),  $\delta$  2.20(1H, dd, J=7, 2

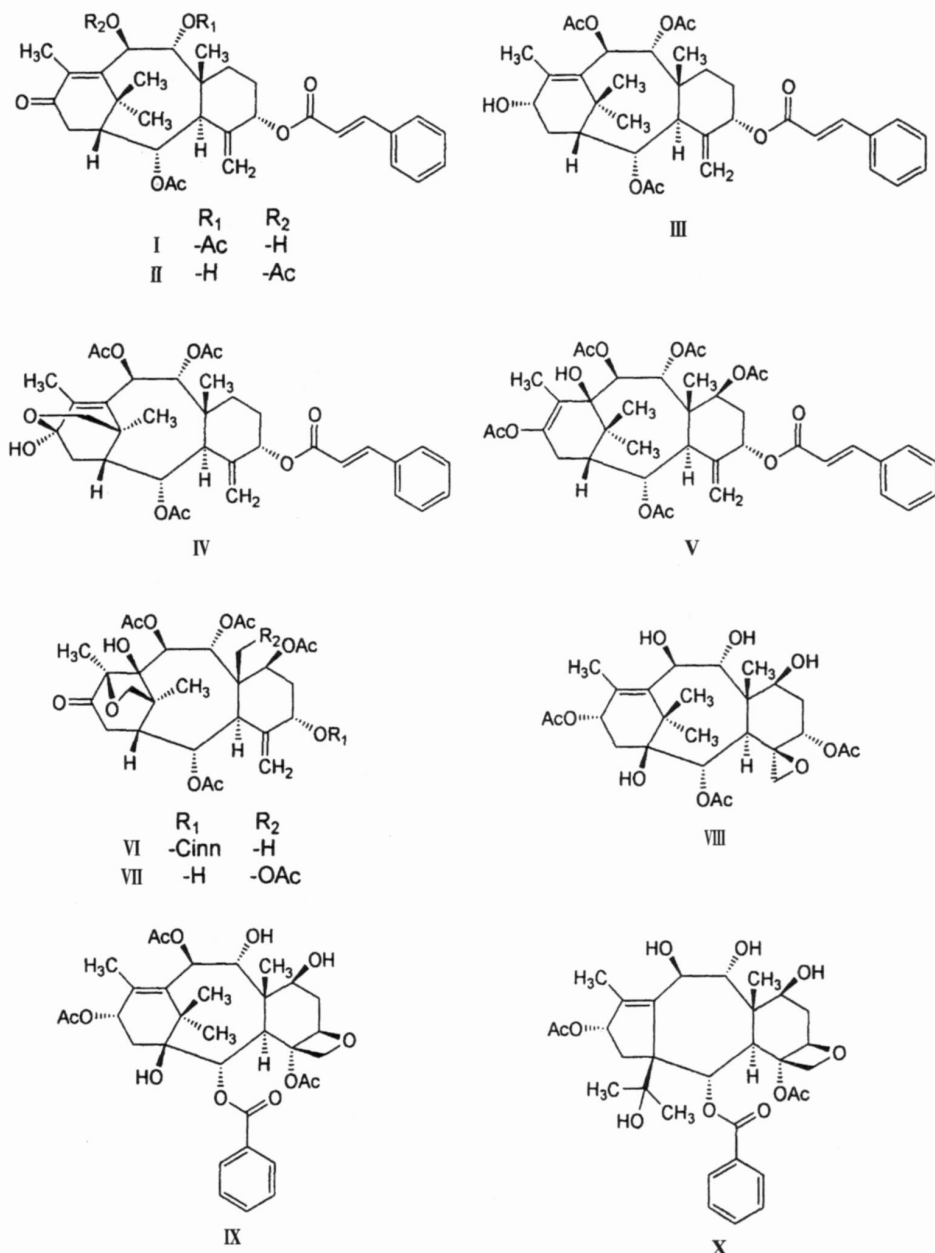


图1 化合物Ⅺ~Ⅿ的结构式

Fig 1 Chemical structures of compounds Ⅺ~Ⅿ

H<sub>2</sub>, H21), 2116(3H, s, C20OAc), 2111(3H, s, H218), 2105(3H, s, C20OAc), 1198(1H, H26a), 1181(3H, s, H217), 1175(1H, H27a), 1174(1H, H26b), 1164(1H, H27b), 1123(3H, s, H216), 0192(3H, s, H219)。<sup>13</sup>CNMR(CDCl<sub>3</sub>)δ200.1(C213), 1721.0(22乙酰氧基上的羰基C), 1701.0(92乙酰氧基上的羰基C), 1661.6(C21c), 1541.8(C211), 1461.0(C23c), 1421.2(C24), 1351.7(C212), 135~128(6C, phyl), 1181.2(C22c), 1171.2(C220), 791.2(C29), 781.4(C25), 721.1(C210), 691.5(C22), 481.7(C21), 441.2(C28), 431.0(C23), 371.9(C215), 371.4(C216), 351.9(C214),

281.3(C26), 271.2(C27), 251.3(C217), 211.2(92乙酰氧基上的甲基C), 201.9(22乙酰氧基上的甲基C), 171.7(C219), 131.9(C218)。与文献报道数据一致<sup>[6]</sup>。

化合物ⅰ：白色粉末。<sup>1</sup>HNMR(CDCl<sub>3</sub>)δ7.75~7.38(4H, m, phyl), 7.64(1H, d, J=16Hz, H23c), 6.43(1H, d, J=16Hz, H22c), 5.82(1H, d, J=91.6Hz, H210), 5.48(1H, dd, J=6.1, 11.6Hz, H22), 5.33(1H, overlap, H25), 5.31(1H, s, H220a), 4.86(1H, s, H220b), 4.30(1H, d, J=91.6Hz, H29), 3.37(1H, d, J=6.1Hz, H23), 2.81(1H, dd, J=20, 7Hz, H214a), 2.41(1H, d, J=20Hz, H2)

14b), 21 27(3H, s, H218), 21 14(1H, overlap, H21), 21 13(3H, s, C22OAc), 21 06(3H, s, C102OAc), 11 98(1H, H26a), 11 85(1H, H27a), 11 73(1H, H26b), 11 63(3H, s, H217), 11 56(1H, H27b), 11 13(3H, s, H216), 11 11(3H, s, H219)。<sup>13</sup>CNMR(CDCl<sub>3</sub>) D 1991 9(C213), 1701 5(22乙酰氧基上的羰基C), 1701 1(102乙酰氧基上的羰基C), 1661 6(C21c), 1511 9(C211), 1461 0(C23c), 1421 5(C24), 1371 8(C2 12), 136~128(6C, phyl), 1181 2(C22c), 1161 7(C2 20), 781 4(C25), 761 7(C210), 751 4(C29), 691 6(C2 2), 481 6(C21), 451 0(C28), 431 0(C23), 371 9(C215), 361 9(C216), 351 9(C214), 281 3(C26), 261 0(C27), 251 5(C217), 131 9(C218), 171 7(C219)。与文献报道数据基本一致<sup>[7]</sup>。

化合物⑥:白色结晶。<sup>1</sup>HNMR(CDCl<sub>3</sub>) D 71 72(1H, d, J= 16 Hz, H23c), 71 6~71 3(5H, m, phyl), 61 85(1H, d, J= 16 Hz, H22c), 61 03(1H, d, J= 101 5 Hz, H210), 51 95(1H, s, H220b), 51 86(1H, d, J= 101 4 Hz, H29), 51 47(1H, dd, J= 61 4, 21 0 Hz, H22), 51 41(1H, t, J= 21 5 Hz, H25), 51 38(1H, s, H220a), 41 56(1H, br dd, J= 101 0, 51 4 Hz, H213), 31 35(1H, d, J= 61 5 Hz, H23), 21 69(1H, dt, J= 151 8, 91 6 Hz, H214a), 21 31(3H, s, H218), 21 04(3H, s, C22OAc), 21 04(3H, s, C92OAc), 21 00(3H, s, C102OAc), 11 98(1H, overlap, m, H26a), 11 84(1H, d, J= 81 8 Hz, H21), 11 78(2H, overlap, m, H27), 11 76(1H, m, H26b), 11 70(3H, s, H217), 11 59(1H, dd, J= 151 6, 51 6 Hz, H214b), 01 99(3H, s, H216), 01 90(3H, s, H219)。<sup>13</sup>CNMR(CDCl<sub>3</sub>) D 1701 0(102乙酰氧基上的羰基C), 1691 7(22乙酰氧基上的羰基C), 1691 7(92乙酰氧基上的羰基C), 1661 1(C21c), 1451 3(C23c), 1411 9(C24), 1411 4(C212), 135~128(6C, phyl), 1321 5(C211), 1181 4(C2 20), 1171 9(C22c), 791 0(C25), 761 6(C29), 721 8(C2 10), 711 5(C22), 671 6(C213), 481 0(C21), 431 9(C2 3), 441 5(C28), 371 2(C215), 321 5(C214), 311 9(C2 16), 281 0(C26), 271 2(C27), 261 1(C217), 201 7(22乙酰氧基上的甲基C), 201 7(92乙酰氧基上的甲基C), 201 7(102乙酰氧基上的甲基C), 171 8(C219), 151 8(C218)。与文献报道数据一致<sup>[8]</sup>。该化合物为首次从东北红豆杉针叶中分离得到。

化合物⑦:白色结晶。<sup>1</sup>HNMR(CDCl<sub>3</sub>) D 71 70(1H, d, J= 16 Hz, H23c), 71 6~71 3(5H, m, phyl), 61 69(1H, d, J= 16 Hz, H22c), 61 09(1H, d,

J= 01 6 Hz, H210), 51 71(1H, d, J= 101 6 Hz, H2 9), 51 47(1H, dd, J= 51 7, 11 7 Hz, H22), 51 40(1H, brt, H25), 51 37(1H, s, H220a), 41 93(1H, s, H2 20b), 31 49(1H, d, J= 71 9 Hz, H216a), 31 13(1H, d, J= 51 5 Hz, H23), 31 10(1H, overlap, d, J= 81 1 Hz, H216b), 21 81(1H, br s, C132OH), 21 28(3H, s, H218), 21 13(1H, overlap, s, H21), 21 06(3H, s, C22 OAc), 21 04(3H, s, C92OAc), 21 03(1H, overlap, m, H214a), 21 02(1H, overlap, m, H26a), 11 98(3H, s, C102OAc), 11 79(2H, overlap, m, H27), 11 78(1H, overlap, m, H26b), 11 73(1H, dd, J= 131 7, 21 4 Hz, H214b), 11 52(3H, s, H217), 01 92(3H, s, H219)。<sup>13</sup>CNMR(CDCl<sub>3</sub>) D 1701 0(22乙酰氧基上的羰基C), 1691 5(92乙酰氧基上的羰基C), 1691 3(102乙酰氧基上的羰基C), 1661 1(C21c), 1451 2(C23c), 1411 7(C24), 1411 4(C212), 135~128(6C, phyl), 1301 6(C2 11), 1181 2(C22c), 1171 7(C220), 961 0(C213), 781 7(C25), 761 1(C29), 741 3(C216), 691 8(C22), 691 6(C2 10), 481 3(C21), 431 7(C28), 421 5(C23), 371 4(C2 15), 351 2(C214), 281 0(C26), 271 7(C27), 201 9(92乙酰氧基上的甲基C), 201 7(102乙酰氧基上的甲基C), 201 4(22乙酰氧基上的甲基C), 171 4(C219), 171 2(C217), 111 8(C218)。与文献报道数据一致<sup>[9]</sup>。

化合物⑧:白色粉末。<sup>1</sup>HNMR(CDCl<sub>3</sub>) D 71 69(1H, d, J= 16 Hz, H23c), 71 6~71 3(5H, m, phyl), 61 44(1H, d, J= 16 Hz, H22c), 51 79(1H, br d, J= 61 7 Hz, H22), 51 58(1H, d, J= 41 8 Hz, H2 10), 51 33(1H, br t, J= 81 3 Hz, H25), 51 19(1H, s, H220a), 51 06(1H, s, H220b), 41 83(1H, d, J= 41 8 Hz, H29), 41 82(1H, overlap, dd, J= 101 3, 81 3 Hz, H27), 31 67(1H, d, J= 61 7 Hz, H23), 21 56(1H, ddd, J= 181 6, 71 9, 21 1 Hz, H214a), 21 36(1H, d, J= 181 6 Hz, H214b), 21 19(3H, s, C22OAc), 21 18(3H, s, C72OAc), 21 09(2H, overlap, m, H26), 21 00(3H, s, C92OAc), 11 99(3H, s, C102OAc), 11 95(3H, s, C132OAc), 11 87(1H, br d, J= 81 0 Hz, H2 1), 11 56(3H, br s, H218), 11 52(3H, s, H219), 11 24(3H, s, H217), 11 16(3H, s, H216)。<sup>13</sup>CNMR(CDCl<sub>3</sub>) D 1701 5(92乙酰氧基上的羰基C), 1701 4(102乙酰氧基上的羰基C), 1701 0(72乙酰氧基上的羰基C), 1691 3(102乙酰氧基上的羰基C), 1681 5(22乙酰氧基上的羰基C), 1651 2(C21c), 1441 9(C23c), 1441 1(C213), 1421 3(C24), 135~128(6C, phyl), 1241 1(C212), 1171 6(C22c), 1101 8(C220), 781 5(C2

11), 761 6(C210), 741 5(C29), 701 2(C27), 681 2(C22), 671 3(C25), 501 4(C21), 431 1(C28), 411 3(C215), 401 8(C23), 321 5(C26), 311 3(C216), 251 8(C214), 241 0(C217), 211 4(92乙酰氧基上的甲基 C), 211 1(132乙酰氧基上的甲基 C), 211 1(72乙酰氧基上的甲基 C), 201 5(102乙酰氧基上的甲基 C), 201 5(22乙酰氧基上的甲基 C), 141 7(C219), 111 5(C218)。与文献报道数据一致<sup>[10]</sup>。

化合物 6: 白色结晶。<sup>1</sup>H NMR (CDCl<sub>3</sub>) D 71 9~71 3(5H, m, phyl), 71 81(1H, d, J=16 Hz, H2 3c), 61 91(1H, d, J=16 Hz, H22c), 51 52(1H, dd, J=91 3, 11 2 Hz, H22), 51 49(1H, br t, J=21 9 Hz, H25), 51 44(1H, s, H220a), 51 40(1H, overlap, m, H27), 51 40(1H, d, J=31 2 Hz, H210), 41 94(1H, d, J=31 2 Hz, H29), 41 60(1H, s, H220b), 41 19(1H, d, J=81 0 Hz, H216a), 41 14(1H, s, C12OH), 31 68(1H, d, J=71 8 Hz, H216b), 31 40(1H, d, J=91 0 Hz, H23), 31 01(1H, dd, J=181 5, 111 7 Hz, H2 14a), 21 57(1H, d, J=181 5 Hz, H214b), 21 35(1H, br d, J=111 7 Hz, H21), 21 23(1H, ddd, J=141 1, 61 1, 21 4 Hz, H26a), 21 13(3H, s, C22OAc), 21 11(3H, s, C72OAc), 21 02(3H, s, C92OAc), 11 96(3H, s, C102OAc), 11 67(1H, ddd, J=141 4, 101 5, 31 9 Hz, H26b), 11 53(3H, s, H217), 11 21(3H, s, H218), 11 10(3H, s, H219)。<sup>13</sup>C NMR (CDCl<sub>3</sub>) D 2041 3(C213), 1721 1(72乙酰氧基上的羰基 C), 1701 3(22乙酰氧基上的羰基 C), 1691 8(92乙酰氧基上的羰基 C), 1681 5(82乙酰氧基上的羰基 C), 1681 0(102乙酰氧基上的羰基 C), 1441 4(C24), 1121 8(C220), 911 2(C212), 821 2(C216), 801 1(C211), 721 6(C25), 701 3(C29), 691 4(C22), 681 4(C27), 641 0(C210), 611 4(C219), 491 5(C215), 491 0(C28), 481 8(C21), 391 2(C26), 381 3(C23), 331 9(C214), 211 3(92乙酰氧基上的甲基 C), 211 1(102乙酰氧基上的甲基 C), 201 7(22乙酰氧基上的甲基 C), 201 6(72乙酰氧基上的甲基 C, 82乙酰氧基上的甲基 C), 141 9(C217), 121 1(C218)。与文献报道数据基本一致<sup>[12]</sup>。

化合物 7: 白色粉末。<sup>1</sup>H NMR (CDCl<sub>3</sub>) D 51 36(1H, br s, H22), 31 23(1H, br s, H23), 41 25(1H, br s, H25), 21 00(1H, overlap, H26a), 11 95(1H, overlap, H26b), 41 19(1H, dd, J=121 8, 31 9 Hz, H27), 41 47(1H, d, J=91 8 Hz, H29), 41 86(1H, d, J=91 8 Hz, H210), 61 02(1H, br t, J=81 3 Hz, H213), 21 55(1H, dd, J=151 6, 101 7 Hz, H2 14a), 11 84(1H, d, J=141 7, 61 8 Hz, H214b), 11 28(3H, overlap, s, H216), 11 58(3H, s, H217), 11 97(3H, s, H218), 11 28(3H, overlap, s, H219), 31 46(1H, d, J=41 5 Hz, H220a), 21 35(1H, d, J=41 7 Hz, H220b), 21 16(3H, s, C22OAc), 21 09(3H, s, C52 OAc), 21 05(3H, s, C132OAc)。<sup>13</sup>C NMR (CDCl<sub>3</sub>) D 1691 8(52乙酰氧基上的羰基 C), 1681 7(22乙酰氧基上的羰基 C), 1381 2(C211), 1371 5(C212), 801 5(C29), 771 8(C25), 761 0(C21), 721 7(C22), 721 5(C210), 711 1(C213), 691 4(C27), 581 5(C24), 491 6(C220), 441 0(C28), 431 2(C215), 391 7(C23), 381 3(C214), 311 5(C26), 281 2(C216), 211 5(22乙酰氧基上的甲基 C), 211 3(C217), 211 2(52乙酰氧基上的甲基 C), 201 8(132乙酰氧基上的甲基 C), 151 7(C218), 131 8(C219)。与文献报道数据基本一致<sup>[13]</sup>。该化合物为首次从东

16a), 31 69(1H, d, J=81 2 Hz, H216b), 31 63(1H, d, J=101 2 Hz, H23), 21 99(1H, dd, J=191 1, 121 2 Hz, H214a), 21 69(1H, d, J=191 4 Hz, H214b), 21 41(1H, br d, J=12 Hz, H21), 21 18(3H, s, C22 OAc), 21 15(1H, overlap, m, H26a), 21 10(6H, s, C72OAc, C82OAc), 11 98(3H, s, C92OAc), 11 95(3H, s, C102OAc), 11 61(1H, overlap, m, H26b), 11 58(3H, overlap, s, H217), 11 17(3H, s, H218)。

<sup>13</sup>C NMR (CDCl<sub>3</sub>) D 2041 3(C213), 1721 1(72乙酰氧基上的羰基 C), 1701 3(22乙酰氧基上的羰基 C), 1691 8(92乙酰氧基上的羰基 C), 1681 5(82乙酰氧基上的羰基 C), 1681 0(102乙酰氧基上的羰基 C), 1441 4(C24), 1121 8(C220), 911 2(C212), 821 2(C216), 801 1(C211), 721 6(C25), 701 3(C29), 691 4(C22), 681 4(C27), 641 0(C210), 611 4(C219), 491 5(C215), 491 0(C28), 481 8(C21), 391 2(C26), 381 3(C23), 331 9(C214), 211 3(92乙酰氧基上的甲基 C), 211 1(102乙酰氧基上的甲基 C), 201 7(22乙酰氧基上的甲基 C), 201 6(72乙酰氧基上的甲基 C, 82乙酰氧基上的甲基 C), 141 9(C217), 121 1(C218)。与文献报道数据基本一致<sup>[12]</sup>。

化合物 8: 白色粉末。<sup>1</sup>H NMR (CDCl<sub>3</sub>) D 51 36(1H, br s, H22), 31 23(1H, br s, H23), 41 25(1H, br s, H25), 21 00(1H, overlap, H26a), 11 95(1H, overlap, H26b), 41 19(1H, dd, J=121 8, 31 9 Hz, H27), 41 47(1H, d, J=91 8 Hz, H29), 41 86(1H, d, J=91 8 Hz, H210), 61 02(1H, br t, J=81 3 Hz, H213), 21 55(1H, dd, J=151 6, 101 7 Hz, H2 14a), 11 84(1H, d, J=141 7, 61 8 Hz, H214b), 11 28(3H, overlap, s, H216), 11 58(3H, s, H217), 11 97(3H, s, H218), 11 28(3H, overlap, s, H219), 31 46(1H, d, J=41 5 Hz, H220a), 21 35(1H, d, J=41 7 Hz, H220b), 21 16(3H, s, C22OAc), 21 09(3H, s, C52 OAc), 21 05(3H, s, C132OAc)。<sup>13</sup>C NMR (CDCl<sub>3</sub>) D 1691 8(52乙酰氧基上的羰基 C), 1681 7(22乙酰氧基上的羰基 C), 1381 2(C211), 1371 5(C212), 801 5(C29), 771 8(C25), 761 0(C21), 721 7(C22), 721 5(C210), 711 1(C213), 691 4(C27), 581 5(C24), 491 6(C220), 441 0(C28), 431 2(C215), 391 7(C23), 381 3(C214), 311 5(C26), 281 2(C216), 211 5(22乙酰氧基上的甲基 C), 211 3(C217), 211 2(52乙酰氧基上的甲基 C), 201 8(132乙酰氧基上的甲基 C), 151 7(C218), 131 8(C219)。与文献报道数据基本一致<sup>[13]</sup>。该化合物为首次从东

北红豆杉中分离得到。

化合物  $\bar{\Upsilon}$ : 白色粉末。 $^1\text{H}$ NMR(CDCl<sub>3</sub>) δ 81.1~71.4(5H, phyl), 61.15(1H, overlap, m, H213), 61.15(1H, d, J=101.8 Hz, H210), 51.82(1H, d, J=61.3 Hz, H22), 41.94(1H, d, J=91.0 Hz, H25), 41.61(1H, d, J=101.8 Hz, H29), 41.42(1H, dd, J=101.0, 71.8 Hz, H27), 41.31(1H, d, J=81.0 Hz, H220a), 41.15(1H, d, J=81.0 Hz, H220b), 31.19(1H, br d, J=61.1 Hz, H23), 21.64(1H, m, H26a), 21.29(3H, s, C42OAc), 21.21(1H, overlap, m, H214a), 21.20(1H, overlap, m, H214b), 21.19(3H, s, C102OAc), 21.14(3H, s, C132OAc), 11.91(3H, br s, H218), 11.67(3H, overlap, s, H219), 11.67(3H, overlap, s, H217), 11.85(1H, m, H26b), 11.25(3H, s, H216)。  
 $^{13}\text{C}$ NMR(CDCl<sub>3</sub>) δ 170.13(102乙酰氧基上的羰基 C), 170.13(132乙酰氧基上的羰基 C), 169.6(42乙酰氧基上的羰基 C), 167.0(22苯甲酰基上的羰基 C), 140.2(C212), 133.9(C211), 134~128(6C, phyl), 83.18(C25), 81.18(C24), 78.15(C21), 77.12(C29), 76.12(C220), 73.15(C22), 72.15(C27), 72.15(C210), 69.15(C213), 45.19(C23), 42.14(C215), 42.10(C28), 35.19(C26), 35.3(C214), 27.16(C216), 22.13(42乙酰氧基上的甲基 C), 22.10(C217), 21.10(10乙酰氧基上的甲基 C), 21.10(132乙酰氧基上的甲基 C), 14.6(C218), 12.6(C219)。与文献报道数据基本一致<sup>[14, 15]</sup>。

化合物  $\bar{\Upsilon}$ : 白色结晶。 $^1\text{H}$ NMR(CDCl<sub>3</sub>) δ 71.5~71.2(5H, phyl), 61.11(1H, d, J=71.6 Hz, H22), 51.72(1H, t, J=71.5 Hz, H213), 41.96(1H, d, J=81.5 Hz, H25), 41.52(1H, overlap, H29), 41.52(1H, overlap, H210), 41.46(1H, d, J=71.9 Hz, H220a), 41.23(1H, t, J=81.8 Hz, H27), 41.11(1H, d, J=71.7 Hz, H220b), 21.92(1H, d, J=71.6 Hz, H23), 21.59(1H, overlap, m, H26a), 21.30(1H, dd, J=141.5, 71.3 Hz, H214a), 21.16(3H, s, C42OAc), 21.13(3H, s, C132OAc), 11.89(1H, overlap, m, H26b), 11.86(1H, overlap, m, H214b), 11.82(3H, s, H218), 11.76(3H, s, H219), 11.12(3H, s, H216), 11.09(3H, s, H217)。  
 $^{13}\text{C}$ NMR(CDCl<sub>3</sub>) δ 170.15(132乙酰氧基上的羰基 C), 169.12(42乙酰氧基上的羰基 C), 144.18(C212), 137.15(C211), 134~128(6C, phyl), 84.16(C25), 80.18(C29), 79.10(C213), 75.18(C215), 74.15(C220), 71.17(C27), 69.17(C210), 68.19(C21), 68.12(C22), 44.18(C23), 39.17(C28), 36.17(C214),

35.17(C26), 27.16(C216), 24.13(C217), 21.19(42乙酰氧基上的甲基 C), 21.10(132乙酰氧基上的甲基 C), 12.10(C219), 11.13(C218)。与文献报道数据基本一致<sup>[16]</sup>。该化合物为首次从东北红豆杉中分离得到。

化合物  $\bar{\eta} \sim \times, \bar{\Upsilon}$  曾有文献报道从东北红豆杉中分离得到<sup>[1, 4, 5, 17]</sup>, 化合物  $\emptyset, \bar{\Upsilon}$  分别从美丽红豆杉、欧洲红豆杉中得到<sup>[1, 17]</sup>, 但为首次从东北红豆杉中分离得到。

#### 参考文献:

- [1] Baloglu E, Kingston D G II The taxane diterpenoids [J] *J Nat Prod*, 1999, 62: 1448~1472
- [2] Wang F S, Peng L Y, Zhao Y, et all Three new oxetan $\varnothing$  ring $\varnothing$ containing taxoids from *Taxus chinensis* [J] *J Nat Prod*, 2004, 67: 90~907
- [3] Shen Y C, Cheng K C, Lin Y C, et all Three new taxane diterpenoids from *Taxus sumatrana* [J] *J Nat Prod*, 2005, 68: 9029~31
- [4] 王春霖, 曹聪梅, 张丽, 等 *紫杉烷类化合物的研究进展* [J] *河北医药*, 2005, 27(9): 684~688
- [5] 曹聪梅, 李作平, 史清文 *东北红豆杉的化学成分和药理作用研究进展* [J] *天然产物研究与开发*, 2006, 18(2): 330~342
- [6] Shi Q W, Oritani T, Horiguchi T, et all Four novel taxane diterpenoids from the needles of Japanese yew, *Taxus cuspidata* [J] *Biosci Biotechnol Biochem*, 1999, 63: 92~929
- [7] Sakai J, Sasaki H, Kosugi K, et all Two taxoids *Taxus cuspidata* as modulators of multidrug resistant tumor cells [J] *Heterocycles*, 2001, 54: 9992~1009
- [8] Shi Q W, Oritani T, Zhao D, et all Three new taxoids from the seeds of Japanese Yew, *Taxus cuspidata* [J] *Planta Med*, 2000, 66: 294~299
- [9] Shigemori H, Sakurai C A, Hosoyama H, et all Taxezop $\varnothing$ dines J, K and L, new taxoids from *Taxus cuspidata* inhibiting Ca<sup>2+</sup>induced depolymerization of microtubules [J] *Tetrahedron*, 1999, 55: 2553~2558
- [10] Kobayashi J, Hosoyama H, Shigemori H, et all Taxospine D, a new taxane diterpene from *Taxus cuspidata* with potent inhibitory activity against Ca<sup>2+</sup>induced depolymerization of microtubules [J] *Experientia*, 1995, 51: 5922~595
- [11] Yoshizaki F, Fukuda M, Hisamichi S, et all Structure of taxane diterpenoids from the seeds of Japan yew (*Taxus cuspidata*) [J] *Chem Pharm Bull*, 1998, 36: 2098~2102
- [12] Barboni L, Gariboldi P, Torregiani E, et all Minor taxoids from *Taxus wallichiana* [J] *J Nat Prod*, 1995, 58: 93~939
- [13] Shen Y C, Chen C Y I Taxanes from the roots of *Taxus mairei* [J] *Phytochemistry*, 1997, 44(8): 1527~1531
- [14] Morita H, Gonda A, Wei L, et all 3D QSAR analysis of taxoids from *Taxus cuspidata* var. *nana* by comparative molecular field approach [J] *Bioorg Med Chem Lett*, 1997, 7: 2387~2391
- [15] Gunawardana G P, Premachandran U, Burres N S, et all Isolation of 92dihydro2 $\varnothing$ acetyl $\varnothing$ baccatin  $\emptyset$  from *Taxus canadensis* [J] *J Nat Prod*, 1992, 55: 1682~1689
- [16] Appendino G, Cravotto G, Enriu R, et all Rearranged taxanes from *Taxus baccata* [J] *Phytochemistry*, 1994, 36: 4024~411
- [17] Farmer V S, Jha A, Bish K S, et all Constituents of the yew trees [J] *Phytochemistry*, 1999, 50: 1267~1304